



# 能源与动力学院

021 系













文章编号: 1000-8055(2005)05-0868-05

# 航空发动机多变量自校正控制研究

潘慕绚, 黄金泉

(南京航空航天大学 能源与动力学院, 江苏 南京 210016)

**摘要:** 针对航空发动机这一具有耦合和强非线性被控对象, 采用基于带遗忘因子的最小二乘参数估计算法的最小方差多变量自校正控制, 通过分析保证了闭环系统的可辨识性。仿真结果表明, 控制器响应速度快, 跟踪精度高, 抗干扰和耦合能力强, 估计参数能以较快的速度收敛。

**关 键 词:** 航空、航天推进系统; 航空发动机; 多变量自校正控制; 参数估计; 最小二乘算法; 可辨识性

中图分类号: V233.7

文献标识码: A

## Multi-Variable Self-Tuning Control for Aero-Engines

PAN Mu-xuan, HUANG Jin-quan

(College of Energy and Power Engineering,

Nanjing University of Aeronautics and Astronautics, Nanjing 210016, China)

**Abstract:** Based on the least square estimation with forgetting factor  $\mu$ , the multi-variable self-tuning control was proposed for aero-engines with strong nonlinearity. The control parameters were obtained from estimation directly. The closed-loop control system was identifiable through the analysis. The simulation results show that the system features the rapid response, the high precision and the ability to restrain disturbance and coupling and the estimated parameters converge quickly.

**Key words:** aerospace propulsion system; aero-engine; multi-variable self-tuning control; parameter estimation; least square algorithm; identifiability

自适应控制是上世纪 50 年代发展起来的控制新领域, 经过半个多世纪的发展, 已形成两个较为成熟的方向: 模型参考自适应控制<sup>[1,2]</sup>和自校正控制<sup>[3]</sup>。文献[4]中提出的利用输入输出测量值的 MRAC 方法可以避免使用系统中不便测量的微分量, 但自适应参数调整律中的系数缺乏自适应性, 从而影响了该方法在整个飞行包线内的自适应性。自校正控制通过不断的在线辨识修改对象模型, 根据对象最新的模型信息调整控制输出, 实现自适应控制。其中, 控制器设计与模型辨识算法的设计相互独立, 进而提高了该方法的适应能力。

基于上述特点, 自校正控制在非线性对象的控制中得到广泛的应用<sup>[5,6]</sup>。

本文将自校正控制方法应用于航空发动机多变量控制中。采用带遗忘因子的最小二乘法对多变量模型参数进行估计, 以估计参数为根据, 按照最小方差准则, 设计控制律。控制器参数直接来自于对象参数的估计值, 该算法既避免了控制量对对象估计参数收敛速度的影响, 又保证了闭环系统的可辨识性。多变量控制器在一定程度上消除了变量间的耦合现象。带遗忘因子的最小二乘参数估计算法, 较好地解决了辨识过程中数据饱和

收稿日期: 2004-06-21; 修订日期: 2005-06-06

作者简介: 潘慕绚(1977—), 女, 江西九江人, 南京航空航天大学能源与动力学院博士生, 主要从事航空发动机自适应控制研究。





真。仿真过程中,在设计点处将两控制系统的控制量  $u$  和输出量  $y$  归一化到区间  $[-1, 1]$  内。为了

充分激励对象特性,以循环周期为  $(2^7 - 1)$  bit 的  $M$  序列分别作为燃油量和尾喷口面积输入,取

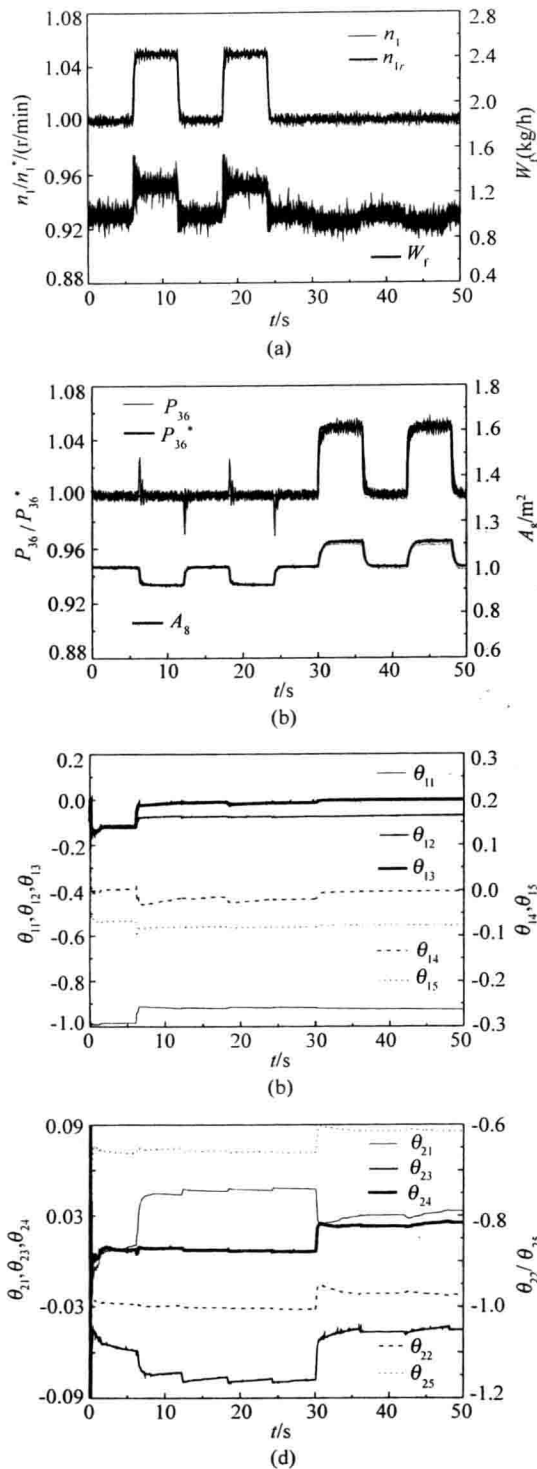


图 2  $H=0$  km,  $Ma=0$  闭环多变量自校正控制  
仿真结果

Fig. 2 The simulation results of closed-loop multivariable self-tuning control  
at  $H=0$  km,  $Ma=0$

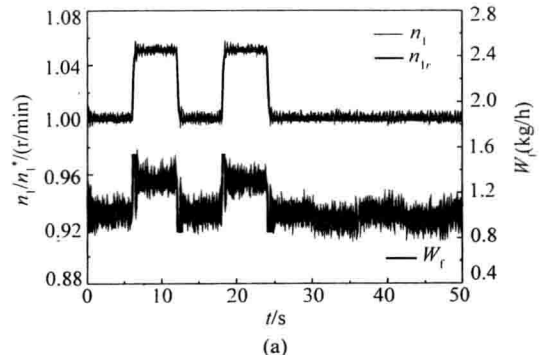


图 3  $H=10$  km,  $Ma=1.2$  处闭环多变量自校正  
控制仿真结果

Fig. 3 The simulation results of closed-loop multivariable self-tuning control  
at  $H=10$  km,  $Ma=1.2$

$\mathbf{P}_{10}=10^5 \times I_{4 \times 4}$ ,  $\mathbf{P}_{20}=10^5 \times I_{4 \times 4}$ ,  $\mu=0.99^{[6]}$ 。在进行闭环控制之前,首先进行开环全参数辨识获  $\hat{\theta}_0^{11}=0.2$ ,  $\hat{\theta}_0^{22}=0.6$ 。

以开环系统辨识为基础,进行自校正控制仿真。为了减少在线辨识时间,改善控制速度,辨识过程中观察  $\mathbf{P}_i$  矩阵的变化,当其基本保持稳定时选取此时的参数  $\hat{\theta}_i$  作为式(7)中控制器参数  $\theta_i$  的初值  $\hat{\theta}_{i0}$ 。系统给定量  $n_{1r}$  和  $P_{36}^{*}$  都为在相应额定值处的周期为 12 s,幅值为额定值的 0.05 倍的方波信号。仿真中噪声信号为零均值,方差为闭环阶跃幅值 0.05 倍的白噪声。图 2 和图 3 中(a)和(b)分别为在包线内不同工作点系统输出量  $n_1$  和  $P_{36}^{*}$  跟踪对应给定量  $n_1^*$  和  $P_{36}^{*}$  的变化过程,以及相应控制量  $W_f$  和  $A_8$  的变化情况。由图可知,采用直接获得控制器参数的低压转速和压比闭环多变量自校正控制系统在包线内具有良好的动静态性能,多变量控制器对子系统间的耦合具有一定的解耦能力。同时包线内不同点仿真结果的对比还反映了该多变量控制器具有良好的自适应能力。图 2 和图 3 中(c)和(d)为在此控制过程中  $\hat{\theta}_i$  的变化曲线。可以看出,当系统性能发生变化时  $\hat{\theta}_i$  能够以较快的速度收敛,说明带遗忘因子的最小二乘估计算法不仅消除了系统辨识过程中数据饱和的现象,而且辨识速度快。

### 3 结 论

针对自校正控制能够很好的解决被控对象存在随机性、时延、时变性的特点,采用带遗忘因子的最小二乘参数估计,将最小方差自校正控制应

用于发动机多变量控制系统中,并通过选择适当的自校正控制器结构保证了闭环系统的可辨识性。本文所设计的自校正控制系统收敛速度和响应速度快,自适应能力强,并具有一定的解耦能力。

### 参 考 文 献:

- [1] Narendra K S, Valavani L. Stable Adaptive Controller Design-Direct Control[J]. *IEEE Trans. Automatic Control*, 1978, AC-23(7): 570~583.
- [2] Narendra K S, Lin Y H, Valavani L. Stable Adaptive Controller Design, Part 2: Proof of Stability[J]. *IEEE Trans. Automatic Control*, 1980, AC-25(6): 440~448.
- [3] Astrom K J, Wittenmark B. On Self-Tuning Regulators[J]. *Automatica*, 1973, 9: 185~199.
- [4] Jin-Quan Huang, Jian-Guo Sun. Multivariable Adaptive Control Using Only Input and Output Measurements for Turbojet Engines[J]. *Transactions of the ASME, Journal of Engineering for Gas Turbines and Power*, 1995, 117(4): 314~319.
- [5] Prager D L. Application of Self-Tuning to Gas Turbine Control[A]. Colloquium on Current Developments in Self-Tuning Control Systems[C]. 1980, p6/1~4.
- [6] Chalupa P, Bobal V, Dostal P. Application of Simple Self-Tuning Controllers in Decentralized Control[A]. Proceedings of the 2002 IEEE International Conference on Control Application[C]. 2002, 6: 1276~1281.
- [7] Graham C Goodwin, Peter J Ramadge, Peter E Caines. Discrete Time Multivariable Adaptive Control[J]. *IEEE Transaction on Automatic Control*, 1980, 25(3): 449~456.
- [8] 方崇智, 萧德云. 系统辨识[M]. 北京: 清华大学出版社, 1991.





的单位系统的输出相对来说要容易实现得多。

对航空发动机进行控制时,希望发动机的转速输出能够跟踪某参考模型的输出,参考模型按控制要求设计得到。如果将参考模型的输出作为指令输入施加于图 2 所示的控制结构,那么对象输出将与指令输入一致,从而达到预期的控制目的。航空发动机自适应逆控制结构如图 3 所示(此时,开关 K1 闭合, K2 断开)。

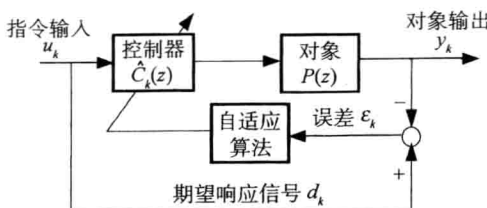


图 2 自适应逆控制结构

Fig. 2 The structure of adaptive inverse control

控制系统中包含两个建模过程,一个是在线过程求发动机模型,一个是离线过程求逆模型,逆模型相当于图 2 中的控制器,即  $\hat{P}_k^{-1}(z) = \hat{w}_{0k} + \hat{w}_{1k}z^{-1} + \dots + \hat{w}_{nk}z^{-n}$ 。所谓在线过程是指:在系统输入下,每一个采样步长都运行一次,得到相应的一组输出数据和更新的权向量。所谓的离线过程是指:利用数字复制品,在设计的建模信号下,经过若干个采样步长才运行的自适应过程,并且得到一组控制器的权向量,这个过程中的流动信号是独立于在线过程的。当系统稳定后,发动机逆模型和发动机的串联在理论上等效于一个具有  $\Delta$

个步长延时的单位系统。

控制系统工作过程如下:希望系统输出跟踪上参考模型输出  $n1_m$ , 利用抖动方法建立发动机  $P(z)$  的一个模型  $\hat{P}_k(z)$ , 用一个离线过程从  $\hat{P}_k(z)$  的数字复制品和期望输出  $y_\Delta$  求得发动机的逆模型  $\hat{P}_\Delta^{-1}(z)$ , 离线过程按 LMS 算法对  $\hat{P}_\Delta^{-1}(z)$  作自适应调整, 用  $\hat{P}_\Delta^{-1}(z)$  的数字复制品串联在真实对象之前, 与参考模型共同组成控制器, 为发动机提供控制输入, 以使得在线过程中  $\hat{P}_k(z)$  和  $\hat{P}_\Delta^{-1}(z)$  级联, 输出  $n1$  为期望输出  $n1_m$  的一个最优的最小二乘匹配。其中,  $\hat{P}_k(z)$  和  $\hat{P}_\Delta^{-1}(z)$  具有图 1 所示的滤波器结构, 各自的权数目通过实验获得。

### 3 带积分环节的发动机自适应逆控制

由于发动机的复杂性决定了求得的发动机逆模型不可能与真实值完全一致。仿真实验证明, 利用图 3 实现的控制系统具有良好的动态跟踪性能, 但是存在不可忽略的稳态误差。为此在原控制结构的基础上引入积分控制加以改进, 这可以看作是利用积分控制环节对发动机逆模型的失配进行补偿。带积分环节的发动机自适应逆控制结构如图 3 所示(此时, 开关 K1 断开, K2 闭合)。

### 4 仿真结果

利用图 3 带积分环节的结构对某型涡扇发动机大偏差部件级模型进行燃油量—转速的建模、

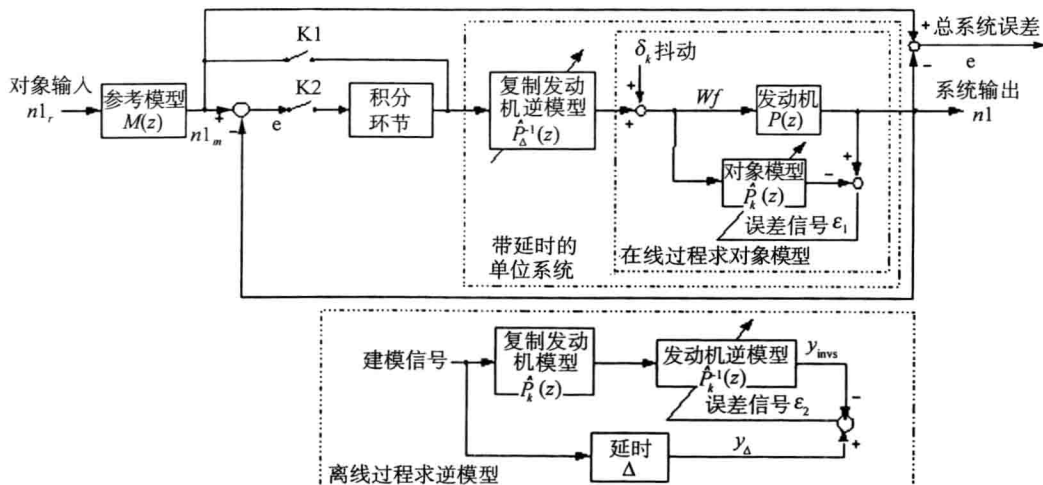


图 3 航空发动机自适应逆控制结构

Fig. 3 The structure of adaptive inverse control for aeroengines

